

## ВЛИЯНИЕ СОПРОТИВЛЕНИЯ КАЧЕНИЮ НА РАБОТУ ФРИКЦИОННЫХ ОСТАНОВОВ И ЭКСЦЕНТРИКОВЫХ ЛОВИТЕЛЕЙ

Постановка проблемы. При расчете фрикционных остановов, эксцентриковых ловителей лифтов и подъемников обычно не учитывается сопротивление на перекатывание роликов или шариков в фрикционных остановах и эксцентриковых остановах [1, 2]. Это, очевидно, связано с тем, что отсутствуют аналитические зависимости для определения коэффициента трения качения.

В [3] такие зависимости получены и при нахождении коэффициента трения качения используются только общепринятые механические константы материалов и размеры контактируемых деталей.

Целью статьи является установить влияние сопротивления перекатыванию шариков (роликов) в фрикционных остановах и эксцентриков в эксцентриковых остановках на величину передаваемого момента или силы трения.

### Материалы исследований.

#### 1. Роликовые остановы.

Расчетный тормозной момент в остановах с роликами и шариками определяется из выражения  $M_p = K_\partial M / K_T$ , где  $M$  - номинальный вращающий момент;  $K_\partial$  и  $K_T$  - коэффициенты, учитывающие динамичность, тип двигателя, неравномерность распределения нагрузки, вызванной погрешностями изготовления.

Нормальная нагрузка на ролик при числе роликов  $z$  (обычно принимается от 3 до 5), диаметре отверстия корпуса  $D$  и угле зацепления  $\alpha$  (рис. 1)  $P = 2M_p / (zDtg \alpha / 2)$ . Естественно, что величина силы  $P$  должна быть такой, чтобы контактные напряжения не превышали допускаемых.

При схеме касания цилиндр - плоскость (ролик-втулка) [4]

$$P = \frac{Bd[\sigma]^2}{2 \cdot 0,418^2 E}, \quad (1)$$

где  $B$  - толщина ролика,  $B = (1,15...1,5)d$ ,  $E$  - модули упругости материалов ролика и корпуса.

Перед началом остановки механизма ролики перекатываются по корпусу и втулке, создавая дополнительный момент вращению.

Коэффициент трения качения при линейном контакте [3]

$$k = 0,225 b e^{-0,6d}, \quad (2)$$

где  $b$  - полуширина пятна контакта, определяемая из известной теории Герца контактных деформаций [4];  $d$  - диаметр ролика в м.

Отметим, что ввиду малости величины  $d$  в формуле (2) экспонентой можно пренебречь.

Таким образом, для известного выражения полуширины пятна контакта

$$b_b = 1,526 \sqrt{\frac{Pd}{2BE}} \quad (3)$$

сопротивление качению ролика по втулке

$$W_b = \frac{2Pk_b}{d}.$$

В месте контакта ролика с корпусом полуширина пятна контакта

$$b_k = 1,522 \sqrt{\frac{P}{BE} \frac{Dd}{D-d}}.$$

Отметим, что при определении  $b_b$  и  $b_k$  предполагалось, что модули упругости материалов ролика, корпуса и втулки одинаковые, а коэффициенты Пуассона равны 0,3.

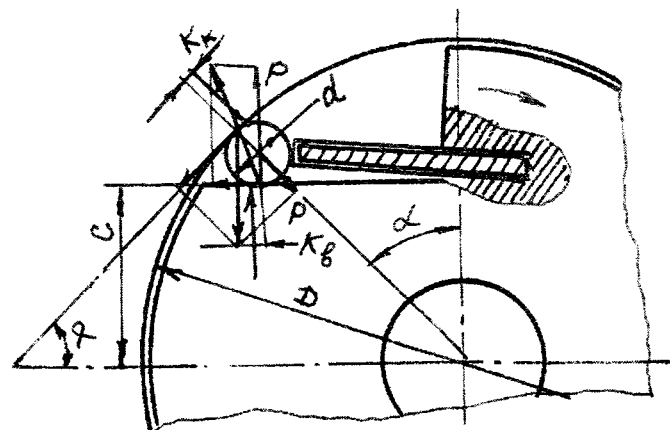


Рисунок 1 – Расчетная схема роликового останова

Очевидно, что сопротивления качению  $W_b$  и  $W_k$  будут увеличивать номинальный врачающий момент, и его величина определится из соотношения

$$M = \left( ZPtg \frac{\alpha}{2} + W_k \right) \frac{D}{2} + \left( ZPtg \frac{\alpha}{2} + W_b \right) C, \quad (4)$$

где  $P = \frac{2Mk_d}{k_m d Z tg \alpha / 2}; \quad C = \frac{(D - d) \cos \alpha - \alpha}{2};$

$$\alpha = \arccos \frac{2C + d}{D - d} [1].$$

Например, при  $M = 70 \text{ Нм}; \quad d = 10 \text{ мм}; \quad Z = 3; \quad k_m = 0,9;$   
 $k_d = 2,25; \quad B = 15 \text{ мм}$  расчётные величины составляют:  
 $\sigma = 410 \text{ МПа} < [\sigma] = 500 \text{ МПа}; \quad P = 1908 \text{ Н}; \quad \alpha = 42,8; \quad D = 100 \text{ мм}.$

Принятая величина  $[\sigma] = 500 \text{ МПа}$  соответствует числу роликов  $Z = 3$  и числу циклов нагружения  $n = (14...16)10^6$  [1].

Величины коэффициентов трения качения  $k_b = 0,019 \text{ мм}$  и  $k_k = 0,02 \text{ мм}$ , а составляющие от сопротивления качению  $W_b = 8,01 \text{ Н}; \quad W_k = 7,25 \text{ Н}.$

Общая величина номинального вращающего момента без учета сопротивлений качению составит  $M = 175,02 \text{ Нм}$ , а с их учётом  $M = 175,65 \text{ Нм}$ , что больше на 0,36%.

Шариковые остановы. Наряду с роликами в остановах в качестве рабочего элемента применяют и шарики. Конструктивно они могут отличаться от роликовых остановов, но с целью их сравнения примем конструкции одинаковыми, имея в виду, что величину допускаемых константных напряжений при точечном контакте можно принимать в 1,3...1,4 раза большей, чем при линейном. При всех размерах равных принятым выше,  $[\sigma] = 700 \text{ МПа}$ , величина  $P = 333 \text{ Н}.$

Полуширины пятен контакта шарика с корпусом и втулкой определяются из выражений :

$$b_k = 0,6985 n_b \sqrt[3]{\frac{P}{E}} \frac{1}{4(d + 2/D)};$$

$$b_b = 0,55453 \sqrt[3]{\frac{P}{E}} \frac{d}{2},$$

коэффициент трения качения при этой схеме контакта

$$k = 0,16 b e^{0,2(d/2)}$$

Номинальный вращающий момент, передаваемый шариковым остановом, при этом составит: без учета сопротивления качению ша-

риков  $M = 30,54$  Нм, а с его учетом  $M = 30,64$  Нм, что больше на 0,33%.

2. Эксцентриковые остановы. В эксцентриковых остановах рабочая часть представляет собой эксцентрик, который под действием собственного веса или усилия пружины взаимодействует со шкивом или другой вращающейся частью механизма, обеспечивая его затормаживание. Эксцентрики могут контактировать с цилиндрической или клиновой рабочими поверхностями шкива.

Силу трения, необходимую для остановки цилиндрического шкива, нагруженного крутящим моментом  $M$ , в существующей литературе рекомендуется определять из выражения :

$$F = Nf = 2Mfd,$$

где  $N$  - нормальное усилие прижатия эксцентрика;  $f$  - коэффициент трения между эксцентриком и шкивом (рекомендуется  $f = 0,08 \dots 0,1$ );  $P$  - окружное усилие.

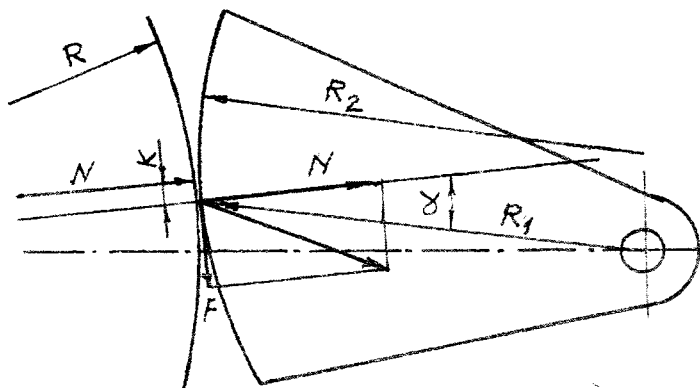


Рисунок 2 – Расчетная схема эксцентрикового останова

Поскольку угол  $\alpha$  (рис. 2) между радиусом шкива  $R_1$ , проведенным в точку  $A$  его касания с эксцентриком, и прямой, соединяющей эту точку с осью вращения эксцентрика, должен быть равен или меньшим угла трения  $f \approx \operatorname{tg} \alpha$ , то  $N = F/f$ , а окружное усилие  $F$  должно быть  $P \leq M/R_1$ .

Из условия работы таких остановов радиус эксцентрика не совпадает с осью вращения, и радиус кривизны в месте контакта будет переменным и равным  $R_2 = R_1 \cos \alpha$ .

При толщине эксцентрика  $B$  сила  $N$  определится из формулы

$$N(\alpha) = \frac{BRR_1[\sigma]^2}{E(R + R_1)}.$$

Поскольку при затормаживании происходит качение эксцентрика по шкиву, то сила трения качения будет препятствовать его за-клиниванию.

Поступив аналогично выше изложенному, найдем, что сила трения  $F$ , необходимая для остановки шкива без учета сопротивления качению, составит 93,5 Н, а с учетом 93,175 Н, т.е. разница составляет 0,35%.

Таким образом, при расчете фрикционных остановов и эксцентриковых ловителей сопротивлением качению ролика или шарика по корпусу и эксцентрика по шкиву трением качения можно пренебречь.

### ЛИТЕРАТУРА

- Тормозные устройства: Справочник/ Александров М.П., Лысяков Г., Федосеев В.Н. и др. – М.: Машиностроение, 1985. – 312 с.
- Справочник по кранам: В 2 т. Т. 2/ Александров М.П., Гохберг М.М., Савин А.А. и др. – М.: Машиностроение; 1988. – 559 с.
- Бондаренко Л.М., Довбня М.П., Ловейкін В.М. Деформаційні опори машинах: - Дніпропетровськ: Дніпро – VAL, 2002. – 200 с.
- Справочник по сопротивлению материалов / Писаренко Г.С., Ялович А.П., Матвеев В.В. – Киев: Наук. думка, 1988. – 736 с.